

# تشخیص خودکار مدولاسیون با استفاده از برنامه‌نویسی ژنتیک و شبکه عصبی چندلایه پرسپترون

کریم حسام‌پور و محمد قاسم‌زاده

دانشکده برق و کامپیوتر، دانشگاه یزد، یزد، ایران

## چکیده

تشخیص مدولاسیون سیگنال دریافتی، گام میانی بین تشخیص سیگنال و دمودولاسیون آن محسوب می‌شود؛ به طوری که در بسیاری از سامانه‌های مخابراتی و نظامی تشخیص خودکار مدولاسیون جزئی از سامانه درنظر گرفته می‌شود. برای تشخیص خودکار مدولاسیون، به طور معمول تعدادی ویژگی از سیگنال دریافتی استخراج و به کار گرفته می‌شود، در این رابطه، انتخاب ویژگی مناسب، تأثیر بهسزایی در افزایش کارایی تشخیص خودکار مدولاسیون دارد. در این مقاله با کمک برنامه‌نویسی ژنتیک از بین ویژگی‌های ورودی، ویژگی مناسب برای جداسازی هر مدولاسیون تولید و انتخاب می‌شود. شبیه‌سازی با سیگنال‌های مدوله شده با مشخصه سیگنال به نو福ه پنج و ده دسی‌بل صورت گرفت. مجموعه‌ای از آزمایش‌ها در این پژوهش صورت گرفت که هدف از آنها تعیین میزان کارایی برای سیگنال‌های مدوله شده با مدولاسیون‌های پرکاربرد و متداول مخابراتی بوده است. پس از انتخاب ویژگی مناسب برای جداسازی مدولاسیون‌ها از شبکه عصبی پرسپترون چندلایه برای جداسازی نوع مدولاسیون استفاده می‌شود. نتایج حاصل نشان می‌دهد به کارگیری ویژگی‌هایی که سامانه مورد نظر پیشنهاد می‌دهد، منجر به افزایش قابل توجهی در تشخیص دقیق‌تر و سریع‌تر نوع مدولاسیون می‌شود.

وازگان کلیدی: تشخیص خودکار مدولاسیون، برنامه‌نویسی ژنتیک، آنتروپی، شبکه عصبی چندلایه پرسپترون.

## ۱- مقدمه

اگر یکی از اهداف اساسی علم مخابرات ایجاد ارتباط مناسب بین دو نقطه دور از هم در نظر گرفته شود، مدولاسیون به عنوان بخش جدانشدنی از این روند محسوب می‌شود. مدولاسیون فرایند تغییر یک یا چند مشخصه سیگنال حامل، مناسب با تعییرهای سیگنال پیام است (Crilly. et al., 2001).

مشخصه‌های قابل تغییر یک سیگنال عبارت از دامنه، فاز و فرکانس (Carlson., Crilly. et al., 2001) هستند. به این ترتیب سازوکار کدبندی داده‌های دیجیتال به سیگنال آنالوگ با مدولاسیون دیجیتال عبارت‌اند از:

- شیفت گسسته در دامنه<sup>۱</sup>
- شیفت گسسته در فرکانس<sup>۲</sup>

- شیفت گسسته در فاز<sup>۳</sup>
  - مدولاسیون دامنه با حالت تربیعی<sup>۴</sup>
- تشخیص خودکار مدولاسیون، قدم مهمی بین آشکارسازی حضور یک سیگنال مخابراتی و دمودولاسیون آن است. در شرایط واقعی، پس از اطلاع از وجود یک سیگنال مخابراتی در باند مورد نظر، می‌توان با الگوریتم‌های تشخیص خودکار مدولاسیون، نوع آن را شناسایی کرد (Dobre, Abdi et al., 2007).

شایان ذکر است که بسیاری از روش‌های رایج در تشخیص خودکار مدولاسیون، توانایی تشخیص انواع محدودی از مدولاسیون‌ها را دارند و به طور معمول این مدولاسیون‌ها را از بین مجموعه‌ای مشخص از ورودی‌ها تشخیص می‌دهند. شناسایی خودکار مدولاسیون به علت

<sup>3</sup> Phase Shift Keying(PSK)

<sup>4</sup> Quadrature Amplitude Modulation(QAM)

<sup>1</sup> Amplitude Shift Keying(ASK)

<sup>2</sup> Frequency Shift Keying(FSK)

الگوریتم‌های بیشینه شباهت انواع متعددی دارند که عبارت‌اند از: GLRT<sup>۵</sup>, ALRT<sup>۶</sup> و HLRT<sup>۷</sup>. این روش‌ها با توجه به پیچیدگی پیاده‌سازی و دقت مورد نیاز و نیز پارامترهای نامعلوم در تشخیص خودکار مدل‌لایسیون مورد استفاده قرار می‌گیرند. لازم به ذکر است روش‌های مبتنی بر بیشینه شباهت پیچیدگی محاسباتی بالایی دارند و نامعلوم‌بودن پارامترها نیز در هنگام استفاده از این روش‌ها دارای محدودیت است (Dobre, Abdi et al., 2007).

در رهیافت مبتنی بر شناسایی آماری الگو، ابتدا ویژگی‌های خاصی از سیگنال استخراج می‌شود. سپس براساس این ویژگی‌ها، تصمیم‌گیری انجام می‌شود. این روش نسبت به روش بیشینه شباهت، تنوع بیشتری دارد (Dobre, Abdi et al., 2007). باید دقت کرد ویژگی‌های سیگنال، به‌گونه‌ای انتخاب شوند که در برابر ایده‌آل‌نبودن پارامترهای سیگنال مقاوم باشد. برای افزایش کارایی این روش می‌توان از الگوریتم‌های یادگیری ماشین<sup>۸</sup> استفاده کرد. هم‌چنین رهیافت مبتنی بر شناسایی آماری الگو پیچیدگی محاسباتی کمتری نسبت به روش‌های بیشینه شباهت دارند و از این‌رو در سامانه‌های عملی امکان پیاده‌سازی آنها بیشتر است (Dobre, Abdi et al., 2007).

در سال‌های اخیر مطالعه‌های زیادی بر روی تشخیص خودکار مدل‌لایسیون صورت گرفته است. در سال ۱۹۹۸ میلادی Nandi و همکارش یک الگوریتم طبقه‌بندی مدل‌لایسیون بر اساس ویژگی‌های سریع و آنی سیگنال‌های دریافتی ارائه کردند. وی تمام ویژگی‌های مورد استفاده در الگوریتم طبقه‌بندی را از دامنه، فاز و فرکانس لحظه‌ای سیگنال دریافتی استخراج کرد. روش ایشان مجموعه ۹۴ مدل‌لایسیون‌های آنالوگ و دیجیتال را با دقت متوسط ۰.۱۵ درصد در سیگنال به نوافذ ۱۵ دسی بل می‌کرد (Nandi et al., 2003). در سال ۲۰۰۳ میلادی Wong و Azzouz (and) در سال ۱۹۹۸ همکارش از شبکه عصبی مصنوعی و الگوریتم زنگیک<sup>۹</sup> برای تشخیص خودکار مدل‌لایسیون استفاده کرد. وی از الگوریتم زنگیک برای انتخاب ویژگی‌های بهتر و از روش پس انتشار خط ارجاعی<sup>۱۰</sup> در شبکه عصبی چندلایه پرسپترون برای جداسازی مدل‌لایسیون‌ها استفاده کرد (Wong and Nandi, 2004).

<sup>5</sup> Average Likelihood Ratio Test

<sup>6</sup> Generalized LRT

<sup>7</sup> Hybrid LRT

<sup>8</sup> Machine Learning

<sup>9</sup> Genetic algorithm(GA)

<sup>10</sup> Resilient Back Propagation (RBP)

مزایای فراوانی که دارد، توجه قابل ملاحظه‌ای را به خود جلب کرده است که در ادامه به چند مورد آن اشاره می‌شود. در بخش نظامی سامانه‌های جنگ الکترونیک از تشخیص خودکار مدل‌لایسیون به عنوان یک منبع اطلاعاتی برای شنود سیگنال‌های متخاصم، تشخیص تهدیدها و هم‌چنین اخلاق<sup>۱</sup> سامانه‌های متخاصم استفاده می‌شود (Soliman and Hsue, 1992; Lopatka and Pedzisz, 2000; Mobasseri, 2000; Wong and Nandi, 2001) کاربردهای غیرنظامی می‌توان به مدیریت فرکانس، مانیتورینگ فرستنده‌ها و تشخیص فرستنده‌های غیرمجاز (Soliman and Hsue, 1992; Lopatka and Pedzisz, 2000; Mobasseri, 2000) اشاره کرد (Karpov et al., 2000) کاربردهای دیگری که در هر دو گروه کاربردهای شهری و نظامی قرار می‌گیرد و اخیراً مورد توجه بسیاری قرار گرفته است، امکان ساخت گیرنده‌های هوشمندی است که بدون داشتن اطلاعات پیشین از سیگنال‌های ارسالی، نوع مدل‌لایسیون را تشخیص و اطلاعات را استخراج می‌کنند. به این ترتیب فرستنده/گیرنده‌های هوشمندی امکان ظهور می‌یابند که با توجه به شرایط محیط و کanal ارتباطی مناسب‌ترین نوع مدل‌لایسیون را جهت ارسال اطلاعات انتخاب می‌کنند و گیرنده نیز به صورت بلاذرنگ امکان تشخیص تغییرهای نوع مدل‌لایسیون را دارد (Dobre, Abdi et al., 2007).

در طراحی یک تشخیص دهنده خودکار مدل‌لایسیون دو گام اساسی در نظر گرفته می‌شود: پیش‌پردازش اولیه سیگنال ورودی و انتخاب الگوریتم جداکننده (Zhu, Aslam et al., 2010). هم‌چنین در بخش الگوریتم جداکننده، روش‌های تشخیص خودکار مدل‌لایسیون به دو دسته، رهیافت مبتنی بر بیشینه شباهت<sup>۲</sup> و رهیافت مبتنی بر شناسایی آماری الگو تقسیم می‌شود. در روش‌های بیشینه شباهت به طور معمول مسئله تشخیص خودکار مدل‌لایسیون به یک مسئله آزمون فرض با چند فرض ترکیبی<sup>۳</sup> تبدیل می‌شود. چنان‌چه فرض  $H_0$  برآورده شود، سیگنال ورودی مربوط به مدل‌لایسیون  $i$  آم بوده است که  $N_{\text{mod}} = i, 1, 2, \dots$ . معنولاً در این روش از آزمون نسبت شباهت<sup>۴</sup> استفاده می‌شود که نیازمند محاسبه تابع شباهت سیگنال  $t(r)$  در بازه  $[0, KT]$  است (Wu, Saquib et al., 2008).

<sup>1</sup> Jamming

<sup>2</sup> Maximum Likelihood (ML)

<sup>3</sup> Multiple hypothesis-testing problem

<sup>4</sup> Likelihood Ratio (RL)

## ۱-۲- مدل سیگنال

در سامانه‌های ارتباطی شکل موج سیگنال باند پایه در گیرنده به صورت رابطه ۱ در نظر گرفته می‌شود (Soliman, 1990).

(۱)

$$y(n) = ae^{j(2\pi f_0 n T + \theta_n)} \sum_{l=-\infty}^{\infty} x(l) h(nT - lT + \epsilon_T T) + g(n)$$

در این رابطه  $x(l)$  دنباله علامت‌ها،  $a$  دامنه نامشخص،  $T$  فاصله زمانی علامت‌ها،  $\epsilon_T$  خطای تنظیم زمانی یا خطای مرحله نمونه برداری در خروجی فیلتر و  $f_0$  مقدار عدم دقت فرکانسی اسیلاتور گیرنده نسبت به سیگنال حامل است. همچنین  $(.)$  ویژگی کانال باند پایه،  $\theta_n$  انحراف فاز سیگنال حامل نسبت به اسیلاتور گیرنده و  $(n)$   $g(n)$  نویفه گوسی سفید جمع‌شونده<sup>۴</sup> است. در این مطالعه فرض می‌شود شرایط کاری ایده‌آل باشد و تنها نویفه گوسی موجود است. همچنین فرض می‌شود پارامترهای کانال معلوم و جبران‌سازی کانال قبلاً انجام شده و اثرات کانال ناچیز و قابل چشم‌پوشی است.

## ۲-۲- معرفی ویژگی‌ها

در این تحقیق از رهیافت شناسایی آماری الگو برای تشخیص خودکار مدولاسیون استفاده شده و از این‌رو مجموعه‌ای از ویژگی‌های عکس‌گیری و روشی الگوریتم تشخیص خودکار مدولاسیون پیشنهادی در نظر گرفته شده است. در ادامه این ویژگی‌ها معرفی می‌شوند.

### ۲-۲-۱- بیشینه طیف دامنه هنجارسازی شده

این ویژگی با  $\gamma_{max}$ <sup>۵</sup> نمایش داده می‌شود و ارائه کننده بیشینه مقدار چگالی توان طیف نرمال و متخرکشده مربوط به دامنه لحظه‌ای سیگنال دریافتی است. طبق قضیه پارسول چگالی طیف توان یک سیگنال معادل با مربع قدر مطلق دنباله‌های DFT آن سیگنال است و بنابراین  $\gamma_{max}$  را می‌توان به صورت رابطه ۲ بیان کرد.

$$\gamma_{max} = \frac{\max |DFT(a_{cn}(i))|^2}{N_s} \quad (2)$$

در این رابطه  $a_{cn}$  با استفاده از رابطه‌های ۳، ۴ و ۵ قابل محاسبه است.

در سال ۲۰۰۸ میلادی Neshatian و همکارش از GP (Genetic programming) برای کاهش تعداد ویژگی‌های داده‌های استاندارد مربوط به حوزه یادگیری ماشین<sup>۱</sup> استفاده کرد (Neshatian and Zhang, 2008).

در سال ۲۰۱۰ میلادی Zhu و همکارانش از ترکیب برنامه‌نویسی ژنتیک<sup>۲</sup> و K نزدیک‌ترین همسایه<sup>۳</sup> برای تشخیص خودکار مدولاسیون استفاده کرد. وی از GP برای جداسازی مدولاسیون‌ها و از KNN برای محاسبه تابع برازنده‌گی GP استفاده کرد (Zhu, Aslam et al.; 2010).

پیدا کردن ویژگی‌های مناسب، قدم مهمی برای تشخیص خودکار مدولاسیون است. (Shrme, 2011). در روش‌های تشخیص خودکار مدولاسیون ارائه شده، از ترکیب چند ویژگی به عنوان ویژگی مناسب برای جداسازی هر مدولاسیون استفاده نشده است. همچنین انتخاب ویژگی مناسب برای جداسازی مدولاسیون‌ها به صورت تجربی انجام می‌شود. در این مقاله سعی می‌شود از GP برای انتخاب هوشمند ویژگی‌های ورودی تشخیص خودکار مدولاسیون استفاده شود. تعداد ویژگی‌های به دست آمده از GP برابر انواع مدولاسیون‌های خروجی است. ویژگی‌ها در جستجوی GP به گونه‌ای انتخاب می‌شوند که کارایی جداکننده، افزایش پاید؛ لذا این پژوهش در افزایش کارایی جداکننده شبکه عصبی پرسپترون در امر شناسایی خودکار مدولاسیون کاربرد دارد. همچنین اگر تعداد ویژگی‌های مسئله تشخیص خودکار مدولاسیون از تعداد مدولاسیون‌های خروجی بیشتر باشد، با بهره‌گیری از روش پیشنهادی در این پژوهش می‌توان تعداد ویژگی‌های مسئله را کاهش داد.

ساختار مقاله به صورت زیر است. در بخش دوم مدل سیگنال، خصوصیات آماری سیگنال و ویژگی‌های اصلی استفاده شده شرح داده می‌شود. ساختار الگوریتم تولید ویژگی‌های اولیه برای GP و همچنین ساختار GP در بخش سوم توضیح داده می‌شود. ارزیابی کارایی و تحلیل حاصل از نتایج به دست آمده در بخش بعد شرح داده و نتیجه‌گیری در بخش پایانی ارائه می‌شود.

## ۲- مدل سیگنال و ویژگی‌ها

در این بخش مدل سیگنال و ویژگی‌های استفاده شده در این مقاله شرح داده می‌شود.

<sup>1</sup> Machine Learning

<sup>2</sup> Genetic Programming (GP)

<sup>3</sup> K-Nearest Neighborhood(KNN)

### ۳-۲-۲- انحراف معیار مرحله لحظه‌ای غیرخطی

این ویژگی با  $\sigma_{dp}$  نمایش داده می‌شود. این ویژگی شباهت زیادی به ویژگی قبل دارد با این تفاوت که در محاسبه  $\sigma_{dp}$  در قسمت دوم رومابه قدر مطلق وجود ندارد و مقدار واقعی جزء غیرخطی مرحله لحظه‌ای در محاسبه شرکت می‌کند. این ویژگی براسر با انحراف استاندارد مقدار واقعی جزء غیرخطی متمنکزشده فاز لحظه‌ای است. به صورت رابطه ۷ محاسبه می‌شود:

$$\sigma_{dp} = \sqrt{\frac{1}{C} \left( \sum_{a_n(i) > a_t} \emptyset_{NL}^2 \right) - \left( \frac{1}{C} \sum_{a_n(i) > a_t} \emptyset_{NL} \right)^2} \quad (7)$$

که در این رابطه  $\emptyset_{NL}$  جزء غیرخطی متمنکزشده مرحله لحظه‌ای مربوط به لحظه  $t$  است. این ویژگی، سیگنال‌های دارای اطلاعات مرحله مستقیم 2PSK را از 4ASK و 2ASK و 4ASK متغیرهای استفاده شده در این رابطه مشابه رابطه ۲-۲ می‌باشد.

### ۴-۲-۲- انحراف معیار قدر مطلق دامنه لحظه‌ای

این ویژگی با  $\sigma_{aa}$  نمایش داده می‌شود و برابر با انحراف معیار قدر مطلق دامنه لحظه‌ای هنجار، هنگامی که سیگنال از سطح آستانه خاص بیشتر باشد، تعریف می‌شود.  $\sigma_{aa}$  به صورت رابطه ۸ محاسبه می‌شود. این معیار سیگنال‌های دارای اطلاعات قدر مطلق دامنه 4ASK را از 2ASK می‌کند (Nandi and Azzouz, 1998).

متغیرهای استفاده شده در این رابطه، مشابه متغیرهای استفاده شده در رابطه ۲-۲-۱ هستند.

$$\sigma_{aa} = \sqrt{\frac{1}{N_s} \left( \sum_{i=1}^{N_s} a_{cn}^2 \right) - \left( \frac{1}{N_s} \sum_{i=1}^{N_s} |a_{cn}| \right)^2} \quad (8)$$

### ۵-۲-۲- انحراف معیار قدر مطلق فرکانس لحظه‌ای

این ویژگی با  $\sigma_{af}$  نمایش داده می‌شود و برابر با انحراف معیار قدر مطلق فرکانس لحظه‌ای هنجار، هنگامی که سیگنال از سطح آستانه خاص بیشتر باشد، تعریف می‌شود.  $\sigma_{af}$  به صورت رابطه ۹ محاسبه می‌شود. این معیار سیگنال‌های دارای اطلاعات قدر مطلق دامنه 4FSK را از 2FSK می‌کند (Nandi and Azzouz, 1998).

$$a_{cn}(i) = a_n(i) - 1 \quad (3)$$

$$a_n(i) = \frac{a(i)}{m_a} \quad (4)$$

$$m_a = \frac{1}{N_s} \sum_{i=1}^{N_s} a(i) \quad (5)$$

تعداد نمونه‌های گرفته شده در هر بخش از سیگنال،  $a_n(i)$  دامنه لحظه‌ای نرمال شده،  $a_{cn}(i)$  دامنه لحظه‌ای نرمال شده و جایه‌جاشده به مرکز<sup>۱</sup> مربوط به زمان  $(t = \frac{i}{f_s})$  است، به نحوی که:  $i = 1, 2, \dots, N_s$  فرکانس نمونه‌برداری هر بخش از سیگنال و  $m_a$  مقدار متوسط نمونه‌های دامنه لحظه‌ای هر بخش از سیگنال دریافتی است. این معیار سیگنال‌هایی را که اطلاعات دامنه مانند 2ASK و 2PSK و 4PSK و 4ASK، از سیگنال‌های 2FSK و 4FSK جدا می‌کند.

### ۲-۲-۲-۲- انحراف معیار قدر مطلق مرحله لحظه‌ای غیرخطی

این ویژگی با  $\sigma_{ap}$  نمایش داده می‌شود و به انحراف استاندارد قدر مطلق جزء غیرخطی و متمنکزشده مرحله لحظه‌ای سیگنال، هنگامی که سیگنال از سطح آستانه خاص بیشتر باشد، تعریف می‌شود. بنابراین  $\sigma_{ap}$  را می‌توان به صورت رابطه ۶ بیان کرد.

که در این رابطه  $\emptyset_{NL}$  جزء غیرخطی متمنکزشده مرحله لحظه‌ای مربوط به لحظه  $t$  است؛ به نحوی که  $t = \frac{i}{f_s}$  و  $i = 1, 2, \dots, N_s$  است. همچنین  $C$  برابر با جمع تعداد نمونه‌های مربوط به مرحله لحظه‌ای  $\emptyset_{NL(i)}$  است که دامنه لحظه‌ای متناظر با نمونه آنها از یک سطح آستانه خاص بیشتر باشد. به عبارت دیگر  $a_n(i)$  دامنه لحظه‌ای نرمال شده متناظر با مرحله  $\emptyset_{NL(i)}$  و  $a_{cn}(i)$  سطح آستانه مورد بحث باشد.  $C$  تعداد نمونه‌های سیگنال بالاتر از سطح آستانه است. این ویژگی، سیگنال‌های دارای اطلاعات قدر مطلق مرحله 4PSK را از 4ASK و 2ASK و 2PSK جدا می‌سازد (Nandi and Azzouz, 1998).

$$\sigma_{ap} = \sqrt{\frac{1}{C} \left( \sum_{a_n(i) > a_t} \emptyset_{NL}^2 \right) - \left( \frac{1}{C} \sum_{a_n(i) > a_t} \emptyset_{NL} \right)^2} \quad (8)$$

$$\sigma_{ap} = \sqrt{\frac{1}{C} \left( \sum_{a_n(i) > a_t} \emptyset_{NL}^2 \right) - \left( \frac{1}{C} \sum_{a_n(i) > a_t} \emptyset_{NL} \right)^2} \quad (8)$$

<sup>1</sup> Normalized  
<sup>2</sup> Centered

اساس فرضیه بقای بهترین‌ها (داروین) و انجام عمل ژنتیکی بهبود و توسعه می‌یابند. به طور خلاصه برنامه‌نویسی ژنتیک، برنامه‌های رایانه‌ای را در سه مرحله زیر بهبود می‌بخشد تا به پاسخ مطلوب دست یابد:

- ۱- یک جمعیت اولیه از ترکیبات تصادفی توابع و پایانه‌ها (آرگومان‌ها) ایجاد می‌کند (مدل‌های تصادفی اولیه)
- ۲- مراحل زیر را تکرار می‌کند تا شرط پایان برنامه‌نویسی ژنتیک برقرار گردد.

« هر برنامه از جمعیت اجرا شده و بسته به چگونگی حل مسئله یک مقدار شایستگی به آن اختصاص داده می‌شود.

« با استفاده از دو عملگر ابتدایی، جمعیت جدیدی از برنامه‌های رایانه‌ای ایجاد می‌شود.

- برنامه‌های رایانه‌ای نسل قبل متناسب با شایستگی مربوطه انتخاب می‌شوند.

(Reproduction)

- برنامه‌های رایانه‌ای انتخابی، دو به دو باهم ترکیب می‌شوند و در جمعیت جدید قرار می‌گیرند. (Crossover)

۳- بهترین برنامه رایانه‌ای که در طول برنامه‌نویسی ژنتیک به دست آمده است، به عنوان جواب نهایی انتخاب می‌شود.

منظور از توابع در بند ۱ کلیه توابعی است که به نظر می‌رسد برای حل مسئله لازم باشند و یا به احتمال به حل بهتر و سریع‌تر مسئله کمک می‌کنند. اما پایانه‌ها عبارت‌اند از متغیرها و یا مقادیر ثابت که در حل مسئله به کاربرده می‌شوند.

در شکل (۱) روندمای کلی روش نشان داده شده است. در مرحله پیش‌پردازش یک تبدیل خطی متعامد مبتنی بر نوع مدلولاسیون<sup>۱</sup> به مجموعه ویژگی‌های اصلی اعمال می‌شود. مراحل عملیات این تبدیل به این شرح است: اگر مجموعه داده‌های ورودی X توسط تبدیل D به نوع مدلولاسیون آن‌ها نگاشت داده شود ( $D: X \rightarrow C$ ، آن گاه هدف یافتن فضای جدیدی از ویژگی‌های ورودی مانند Y است که بتوان توسط تبدیل D' ویژگی‌ها را به صورت ساده‌تر به نوع مدلولاسیون آنها نگاشت داد ( $D': Y \rightarrow C$ ). در این روابط، C مجموعه انواع مدلولاسیون‌ها و m تعداد انواع

<sup>۱</sup> Modulation-wise orthogonal linear transformation

$$\sigma_{af} = \sqrt{\frac{1}{C} \left( \sum_{a_n(i) > a_t} f_N^2(i) \right) - \left( \frac{1}{C} \sum_{a_n(i) > a_t} |f_N(i)| \right)^2} \quad (9)$$

در این رابطه  $f_N(i)$  با استفاده از رابطه‌های ۱۰ و ۱۱ قابل محاسبه است.

$$f_N(i) = \frac{f(i) - m_f}{r_s} \quad (10)$$

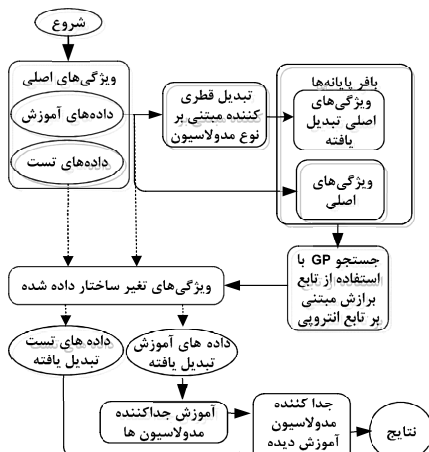
$$m_f = \frac{1}{N_s} \sum_{i=1}^{N_s} f(i) \quad (11)$$

در این رابطه  $m_f$  مقدار متوسط نمونه‌های فرکانس لحظه‌ای هر بخش از سیگنال دریافتی،  $r_s$  نرخ علائم سیگنال ورودی و سایر متغیرهای استفاده شده مشابه رابطه ۱-۲-۲ است.

### ۳- روش پیشنهادی

در این روش با استفاده از برنامه‌نویسی ژنتیک روشی برای انتخاب ویژگی‌ها در مسئله تشخیص خودکار مدلولاسیون ارائه می‌شود تا کارایی طبقه‌بندی بهبود یابد. در برنامه‌نویسی ژنتیکی هدف این است که بدون برنامه‌نویسی صریح، به حل مسئله مورد نظر پرداخته شود. به عبارت دیگر، مطلوب آن است که توسط برنامه‌نویسی ژنتیک یک برنامه رایانه‌ای به دست آید که بتواند مسئله مورد نظر را حل کند و یا حتی المقدور پاسخ نهایی را تخمین بزنده باید توجه داشت که اندازه، شکل و پیچیدگی ساختاری برنامه باید قسمتی از پاسخ باشد. از آن جا که فضای برنامه‌های رایانه‌ای بسیار گسترده است، لذا با جستجوی کور و تصادفی نمی‌توان به پاسخ دست یافت و به همین دلیل باید یک راه هوشمندانه و تطبیقی دنبال شود و برای این منظور برنامه‌نویسی ژنتیک استفاده می‌شود. برنامه‌نویسی ژنتیک می‌تواند به منظور پیدا کردن برنامه‌ای که قابلیت حل مسئله مورد نظر را داشته باشد و یا حتی المقدور بهتر از بقیه به حل مسئله‌ای بپردازد، فضای برنامه را جستجو کند. برنامه‌های که توسط برنامه نویسی ژنتیک به دست می‌آید در رقابتی بر اساس شایستگی حاصل می‌شود. برای این منظور صدها و یا هزاران برنامه رایانه‌ای با اندازه و شکل‌های مختلف که به صورت تصادفی خلق شده‌اند، با هم به رقابت پرداخته و این برنامه‌ها بر

پس از انجام پیش‌پردازش لازم، چون  $m$  مدولاسیون مجزا در مسئله وجود دارد،  $(m \times n)$  ویژگی ساخته می‌شود که با ویژگی‌های اصلی مسئله جمع خواهد شد و مجموعه متغیرهای تولیدشده در جستجوی GP شرکت خواهد داشت. تعداد متغیرها در بافر پایانه‌ها<sup>۱</sup> برابر  $(m + 1) \times (m + 1)$  است. باید دقت کرد که در این مرحله ابعاد مسئله افزایش خواهد یافت. اما به GP این فرستاده می‌شود که ویژگی‌های سطح بالاتر مناسب را جهت تشخیص خودکار مدولاسیون استخراج کند.



(شکل-۱): روندnamای پیشنهادی

عمل جستجو در GP بر اساس تابع برازنده‌گی مبتنی بر آنتروپی انجام می‌گیرد. این تابع برازنده‌گی قادر به جذکردن ویژگی‌های حاوی اطلاعات<sup>۲</sup> از ویژگی‌های بدون اطلاعات<sup>۳</sup> است. این تابع برای رتبه‌بندی همه جواب‌ها در جمعیت استفاده می‌شود. به طور کلی می‌توان گفت که اندازه‌گیری آنتروپی روی یک بازه‌ای که سیگنال‌های متعلق به یک مدولاسیون قرار دارند یک ابزار مناسب برای کمینه‌کردن احتمال رخداد نمونه‌های مدولاسیون‌های دیگر در آن بازه است. این سیستم اندازه‌گیری دارای دو قسمت است. محدوده مربوط به هر مدولاسیون و دیگری یک متربک برای اندازه‌گیری سطح عدم قطعیت. از آنtronپی داده‌ای که در یک بازه قرار دارد به عنوان یک معیار اندازه‌گیری از سطح عدم قطعیت استفاده می‌شود. در اینجا از آنtronپی شانون استفاده می‌شود که به صورت رابطه ۱۵ تعریف می‌شود.

<sup>1</sup> Terminal Pool

<sup>2</sup> Informative

<sup>3</sup> Non Informative

مدولاسیون‌ها یا کلاس‌ها است. برای به کارگیری تبدیل خطی معتمد مبتنی بر نوع مدولاسیون، مجموعه داده‌های آموزش باید به  $m$  دسته بر حسب نوع مدولاسیون‌ها تقسیم شوند.

اگر هر دسته یک ابر کره در نظر گرفته شود، محورهای این ابر کره به گونه‌ای باید قرار گیرند که در میان سیگنال‌های متعلق به هر مدولاسیون مجزا قرار داشته باشد.

$$X_i = \{x | (x, c) \in D\}, \quad \text{where } \bigcup_{i=1}^m X_i = X \quad (12)$$

برای پیدا کردن یک تبدیل با خصوصیات ذکر شده، باید کوواریانس داده‌ها در هر قسمت قطری شود. کوواریانس قسمت  $i$  به صورت رابطه ۱۳ محاسبه می‌شود.

$$\Sigma_i = E\{X_i X_i^T\} - E\{X_i\} E\{X_i^T\} \quad (13)$$

که در این رابطه  $E\{X_i\}$  امید ریاضی داده‌های مجموعه  $\{X_i\}$  و  $\Sigma_i$  یک ماتریس مربعی  $n \times n$  شامل کوواریانس ویژگی‌ها براساس نمونه داده‌های مشاهده شده در قسمت  $i$  است. این ماتریس کوواریانس مربوط به قسمت  $i$  می‌تواند با تبدیل داده‌های هر قسمت با استفاده از رابطه ۱۴ قطری شود.

$$Y_i = \emptyset_i X, \text{ where: } \emptyset_i = \text{eigen}(\Sigma_i) \quad (14)$$

این رابطه مجموعه داده‌های اصلی را طوری نگاشت می‌دهد که محاسبه‌های کوواریانس و بردار ویژه براساس سیگنال‌های متعلق به هر قسمت باشند.

اگر  $n$  اندازه فضای ورودی داده‌های اصلی باشد، هر تبدیل  $n$  ویژگی میانی تولید می‌کند. این پردازش برای هر قسمت و هر مدولاسیون تکرار خواهد شد و در پایان  $m \times n$  بعد جدید ایجاد می‌شود. آن‌گاه فضای داده  $D'$  فضای تبدیل یافته  $Y$  را به صورت  $\{Y_1, Y_2, \dots, Y_m\} = Y$  استفاده می‌کند.

در این مرحله تعداد ویژگی‌های تشخیص مدولاسیون افزایش می‌یابد و بنابراین ابعاد مسئله افزایش خواهد یافت. با استفاده از یک مکانیزم مناسب می‌توان ابعاد این ویژگی‌ها را کاهش داد. جستجوی GP این اجزا را برای ساختن ویژگی‌های سطح بالاتر ترکیب می‌کند و یک تابع رتبه‌بندی را برای انتخاب ویژگی‌هایی که حاوی اطلاعات بیشتر هستند استفاده می‌کند.

GP باید انجام شود. در هر اجرا تابع برازنده‌گی روی یک مدولاسیون مشخص متمرکز می‌شود. در انتهای اجرا، بهترین برنامه ارزیابی شده، به عنوان ویژگی برای آن مدولاسیون استفاده می‌شود. بنابراین برای مسئله تشخیص خودکار مدولاسیون، تعداد ویژگی‌ها برابر با تعداد مدولاسیون‌هاست. به عبارت دیگر جستجوی GP بعد از  $m$  اجرا از میان  $n(m+1)$  ویژگی میانی تعداد  $m$  ویژگی تولید می‌کند. خطوط بین داده‌های آموزش و تست اصلی با داده‌های آموزش و آزمون تغییریافته در شکل (۱) به صورت خط‌چین مشخص شده است که نشان‌گر تبدیل مجموعه داده‌های آموزش و آزمون اصلی با استفاده از ویژگی‌های جدید استخراج شده با الگوریتم GP به مجموعه داده‌های آموزش و تست با قالب جدید است. از شبکه‌های عصبی پرسپترون با دو لایه مخفی برای آموزش و جداسازی مدولاسیون‌ها از یکدیگر استفاده شده است. شبکه‌های عصبی مورد نظر با استفاده از داده‌های آموزش و آزمون ایجاد شده از ویژگی‌های جدید، آموزش و ارزیابی می‌شود.

## ۴- ارزیابی کارایی و تحلیل نتایج شبیه‌سازی

همان طور که در بخش ۱ توضیح داده شد، تشخیص خودکار مدولاسیون از دو قسمت پیش‌پردازش و جداسازی مدولاسیون‌ها تشکیل شده است. از آنجا که اکثر موارد کاربرد تشخیص خودکار مدولاسیون در سیستم‌هایی استفاده می‌شود که به صورت برخط<sup>۱</sup> هستند یعنی به محض دریافت سیگنال ورودی باید عملیات تشخیص نوع مدولاسیون انجام شود تا نتیجه این تشخیص برای تصمیم‌گیری در این سیستم‌ها مورد استفاده قرار گیرد. پس از انتخاب ویژگی مناسب فرایند محاسبه این ویژگی‌ها در کارت‌های پردازش با سرعت بالا انجام می‌شود. این کارت‌ها به طور عمومی کارت‌های<sup>۲</sup> FPGA می‌باشند تا فرایند پردازش در این کارت‌ها به صورت موازی و همزمان انجام شود. لذا در قسمت پیش‌پردازش، نخست ویژگی‌های اصلی استخراج می‌شود. برای شبیه‌سازی استخراج ویژگی‌ها در این مطالعه از ابزار جهت بررسی عملکرد روش پیشنهادی، این روش را با

$$H_2 = \log_2 \sum_{c \in C} \frac{1}{p_i^2(c)} \quad (15)$$

در این رابطه،  $I$  بازه‌ای است که حاوی داده‌های مربوط به مسئله ساختن ویژگی‌های جدید به عنوان یک مسئله بهینه‌سازی با هدف کمینه‌کردن رابطه<sup>۱۵</sup> بیان می‌شود. در واقع این بازه‌ای است که باید تخمین زده شود و حاوی داده‌های مربوط به نوع مدولاسیون  $c$  است،  $C$  مجموعه همه کلاس‌ها یا نوع مدولاسیون‌های خروجی است و  $p_i(c)$  احتمال کلاس  $c$  در بازه  $I$  در نظر گرفته شده است و به وسیله فرکانس رخداد کلاس  $c$  در بازه  $I$  محاسبه می‌شود. برای کمینه‌کردن  $(I) H_2 = \sum_{c \in C} p_i^2(c)$  عبارت  $\sum_{c \in C}$  بیشینه شود. تنها راه برای بیشینه کردن این عبارت، افزایش احتمال رخداد سیگنال‌های مربوط به مدولاسیون مورد نظر و کاهش احتمال رخداد دیگر مدولاسیون‌هاست. به عبارت دیگر ویژگی مطلوب است که تمام نمونه‌های مربوط به یک مدولاسیون را در یک بازه عددی جمع کند و در آن بازه نمونه‌های مربوط به سایر مدولاسیون‌ها نباشد. مراحل برای ارزیابی یک مدولاسیون هدف  $t$  (یک ویژگی برای جدا کردن سیگنال‌های با مدولاسیون  $t$ ) روی یک مجموعه داده‌های آموزش  $S$  به صورت زیر است:

(۱) از برنامه  $A$  برای تبدیل هر نمونه در مجموعه داده‌های آموزش  $S$  به یک مجموعه تبدیل شده  $S'$  استفاده شود. برنامه مقادیر ویژگی‌های اصلی را از بافر متغیرهای GP می‌گیرد و یک مقدار اعشاری ممیز شناور برای هر نمونه تولید می‌کند. بنابراین  $S'$  یک بعدی خواهد بود.

(۲) یک بازه در  $S'$  که شامل ۹۹ درصد از نمونه‌های مدولاسیون  $t$  باشد به عنوان بازه مطلوب در نظر گرفته می‌شود.

(۳) همه نمونه‌هایی از  $S'$  که در بازه  $I$  قرار دارند، جمع‌آوری می‌شود. عبارت  $\sum_{c \in C} \frac{1}{p_i^2(c)}$  روی داده‌های درون بازه مورد نظر محاسبه می‌شود. اگر بیشتر نمونه‌هایی که درون یک بازه قرار گرفته‌اند و این نمونه‌ها متعلق به یک مدولاسیون باشند، مقدار تابع برازنده‌گی برای آنها به طور کامل پایین خواهد بود. براساس این طراحی، مقدار تابع برازنده‌گی کمتر، برنامه را بهتر می‌کند و در نتیجه ویژگی‌های بهتری تولید می‌کند. برای هر مدولاسیون در مسئله فقط یک اجرای

<sup>1</sup> Online

<sup>2</sup> field-programmable gate array

(جدول-۱): تنظیمات شبکه عصبی پرسپترون

مقدار	پارامتر	
پرسپترون چندلایه	نوع شبکه عصبی	۱
۱۵۰۰۰	Maximum epoch	۲
۰/۰۰۰۰۱	Required error goal	۳
۰/۰۰۰۰۱	نرخ آموزش اولیه <sup>۱</sup>	۴
۱/۰۴	مقدار افزایش نرخ آموزش <sup>۲</sup>	۵
۰/۷	مقدار کاهش نرخ آموزش <sup>۳</sup>	۶
۲	تعداد لایه‌های پنهان	۷
۱۰	تعداد نودها در لایه پنهان اول	۸
۱۰	تعداد نودها در لایه پنهان دوم	۹
۵	تعداد نرون‌ها در لایه ورودی	۱۰
Log-sigmoid	توابع تحریک گره‌ها در لایه پنهان اول	۱۱
Linear	توابع تحریک گره‌ها در لایه پنهان دوم	۱۲
Log-sigmoid	توابع تحریک گره‌ها در لایه خروجی	۱۳
مجموع مربعات خطای کارایی	ارزیابی کارایی	۱۴
۰/۹	مقدار ثابت $(m_c)$ momentum	۱۵

نحوه آزمون جاکننده مدولاسیون‌ها به صورت 10-fold cross validation است. نتایج در جدول‌های زیر به صورت Confusion Matrix نشان داده شده است. در هر سطر از جدول‌های زیر مدولاسیون شبیه‌سازی شده در ستون اول هر جدول مشخص شده است. نتایج حاصل از جداسازی مدولاسیون‌ها در ستون‌های دیگر جدول به صورت نسبت از صد نشان داده شده است. مقدار غیر صفر ستون‌های متفاوت از مدولاسیون مورد نظر نسبت جداسازی اشتباہ برای آن مدولاسیون است.

(جدول-۲): جداسازی مدولاسیون‌ها با استفاده از بیزگی‌های اصلی (SNR=5db) دقت ۸۳/۸۳ (SNR=5db) در صد

نوع مدولاسیون استنتاج شده از الگوریتم						
4PSK	2PSK	4FSK	2FSK	4ASK	2ASK	نوع مدولاسیون
0	0	0	0	0	100	2ASK
0	0	0	0	100	0	4ASK
0	0	35	65	0	0	2FSK
7	0	54	39	0	0	4FSK
0	100	0	0	0	0	2PSK
84	1	10	5	0	0	4PSK

<sup>۱</sup> Learning rate( $lr$ )

<sup>۲</sup> Learning rate increment( $lr_{inc}$ )

<sup>۳</sup> Learning rate increment( $lr_{dec}$ )

سیگنال‌های مدوله شده با مقدار سیگنال به نویه‌های ۵db و ۴FSK، ۲FSK، ۴ASK، ۲ASK و ۴PSK و ۲PSK مورد بررسی قرار گرفت.

برای تهیه داده‌های آموزش، ۶۰۰ سیگنال مختلف که به صورت تصادفی با یکی از مدولاسیون‌های ذکر شده مدوله شده‌اند، تولید شد. از هر سیگنال ۴۰۰ نمونه متوالی، با فرکانس نمونه‌برداری ۸۰ کیلوهرتز، نمونه‌برداری شد. از GP برای جستجو و ساختن ویژگی‌های جدید استفاده شد. تعداد این ویژگی‌ها برابر تعداد انواع مدولاسیون‌های خروجی است. از ساختار درخت برای نمایش خروجی GP استفاده شده است. هر درخت یک مقدار اعشاری به عنوان خروجی تولید می‌کند. مجموعه پایانه‌های استفاده شده شامل تابع rand نرم‌افزار مطلب و اعداد ۱، ۲، ۳، ۴، ۵، ۶، ۷، ۸، ۹ و مجموعه توابع GP از چهار عملگر اصلی جمع، تفاضل، ضرب و تقسیم تشکیل شده‌اند. دلیل استفاده از این عملگرها و پایانه‌ها این است که نتایج به دست آمده از اعمال این عملگرها بر روی این پایانه‌ها و ویژگی‌ها، ویژگی‌های شایسته‌تری در مرحله میانی تولید می‌کند. برای تولید برنامه‌های اولیه از روش ramped half-and-half و از سیاست elitism برای انتقال بهترین والد به نسل بعد استفاده شده است. اندازه جمعیت ۱۰۲۴ و بیشترین عمق درخت‌ها در هنگام مقداردهی شش در نظر گرفته شده است. این مقدار در حین اجرا تا عمق ۱۲ می‌تواند افزایش یابد. نرخ تولید مثل و جهش مقدار ۰/۰۵ تنظیم شد و فرآیند تکامل برای هر مدولاسیون بعد از ۲۵ نسل متوقف می‌شود. مقدار این پارامترها بر این اساس صورت گرفته است که در طی فرآیند تکامل، تعداد مناسبی از نامزدهای جواب در بافر جواب‌ها وجود داشته باشد؛ و مقدار این پارامترها به صورت آزمون و خطای کارایی بر این اساس تعیین شده است.

در جدول‌های ۲ و ۳، مدولاسیون‌ها با SNR=5db و SNR=10db با هم مقایسه شده‌اند. برای هر گروه از سیگنال‌ها با ویژگی‌های اصلی و ویژگی‌های به دست آمده با جستجوی GP، نتایج جداسازی با شبکه عصبی دولایه پرسپترون با هم مقایسه شده‌اند. تنظیمات شبکه عصبی استفاده شده برای اجرای شبکه عصبی مورد نظر مطابق جدول (۱) است.



شبکه عصبی پرسپترون با دو لایه مخفی برای جداسازی مدولاسیون‌ها استفاده شده است.

همان‌طور که مشاهده می‌شود کارایی الگوریتم شبکه عصبی چندلایه پرسپترون برای جداسازی مدولاسیون‌ها در سیگنال به نویفهای 5db و 10db با استفاده از ویژگی‌های ایجادشده توسط روش پیشنهادی بهبود یافته است. البته در سیگنال به نویفهای پایین‌تر این افزایش قابل ملاحظه‌تر است. به عبارت دیگر در داده‌های نویفهای با تغییر فضای ویژگی‌ها و اعمال یک تبدیل خطی متعامد مبتنی بر نوع مدولاسیون<sup>۱</sup> به مجموعه ویژگی‌های اصلی در مرحله پیش‌پردازش، فضای ویژگی‌ها به فضای تفکیک‌پذیرتری تبدیل می‌شود. در مرحله تغییر فضای ویژگی‌ها تعداد ویژگی‌ها افزایش یافته است. لذا در طی فرایند تکاملی جستجوی GP با استفاده ازتابع برازنده‌گی مبتنی بر "آنتروپی" ویژگی‌هایی که قدرت جداسازی مدولاسیون پیدا می‌کند. به همین دلیل کارایی شبکه عصبی پرسپترون با دو لایه مخفی افزایش یافته است.

## ۵- نتیجه‌گیری

هدف از این تحقیق استفاده از برنامه‌نویسی ژنتیک برای انتخاب هوشمند ویژگی‌ها در جهت افزایش کارایی شبکه عصبی چندلایه پرسپترون به عنوان جداسازی، برای جداسازی مدولاسیون‌ها بود. این فرآیند از چهار گام مهم تشکیل شده است: اولین گام استخراج ویژگی‌های معمول و تشکیل مجموعه داده‌های آموزش است. در گام دوم با استفاده از تبدیل مبتنی بر مدولاسیون، فضای ویژگی‌های اصلی به یک فضای جدایدیتر تبدیل می‌شود. در گام سوم فضای ویژگی‌های جدید به عنوان ورودی بافر پایانه جستجوی GP استفاده می‌شود تا ویژگی‌های سطح بالاتری سازد. از مفهوم آنتروپی برای ارزیابی کیفیت ویژگی ایجادشده، استفاده شد. در گام چهارم با استفاده از شبکه عصبی چندلایه پرسپترون اقدام به جداسازی مدولاسیون‌ها شد. در سیگنال به نویفه 5db و 10db ویژگی‌های ایجادشده با این روش با ویژگی‌های اصلی برسی و مقایسه شد. نتایج پیشنهاد می‌دهند که سیستم GP ارائه شده قادر به افزایش کارایی شبکه عصبی مبتنی بر پرسپترون چندلایه است. البته کارایی شبکه عصبی مورد نظر در سیگنال به نویفه‌های پایین‌تر نسبت به سیگنال به نویفه‌های بالاتر پیش‌تر افزایش پیدا می‌کند.

<sup>۱</sup> Modulation-wise orthogonal linear transformation

(جدول-۳): جداسازی مدولاسیون‌ها با استفاده از ویژگی‌های به دست آمده از GP(SNR=5db) دقت جداسازی

۹۴/۸۳ درصد

نوع مدولاسیون استنتاج شده از الگوریتم						نوع مدولاسیون
4PS K	2PS K	4FSK	2FS K	4A SK	2AS K	
0	0	0	0	0	100	2ASK
0	0	0	0	100	0	4ASK
0	0	11	89	0	0	2FSK
7	0	85	15	0	0	4FSK
0	100	0	0	0	0	2PSK
95	0	5	0	0	0	4PSK

(جدول-۴): جداسازی مدولاسیون‌ها با استفاده از ویژگی‌های اصلی (SNR=10db) دقت جداسازی ۹۷/۱۶ درصد

نوع مدولاسیون استنتاج شده از الگوریتم						نوع مدولاسیون
4PS K	2PS K	4FSK	2FS K	4A SK	2AS K	
0	0	0	0	0	100	2ASK
0	0	0	0	100	0	4ASK
0	0	9	91	0	0	2FSK
7	0	96	6	0	0	4FSK
0	100	0	0	0	0	2PSK
96	2	1	0	0	0	4PSK

(جدول-۵): جداسازی مدولاسیون‌ها با استفاده از ویژگی‌های به دست آمده از GP(SNR=10db) دقت جداسازی ۹۸/۵ درصد

نوع مدولاسیون استنتاج شده از الگوریتم						نوع مدولاسیون
4PS K	2PS K	4FSK	2FS K	4A SK	2AS K	
0	0	0	0	0	100	2ASK
0	0	0	0	100	0	4ASK
0	0	5	95	0	0	2FSK
7	0	97	3	0	0	4FSK
0	100	0	0	0	0	2PSK
99	1	0	0	0	0	4PSK

با استفاده از جدول‌های ۲ تا ۵ می‌توان به صورت میانگین نتایج جدول (۶) را به دست آورد. در این جدول دقت جداسازی مدولاسیون‌ها با استفاده از ویژگی‌های اصلی مسأله و ویژگی‌هایی که با استفاده از روش پیشنهادی در مسأله ایجاد شده‌اند مقایسه شده‌اند. در هر دو این روش‌ها از

Soliman, S.S. and S.Z. Hsue, Signal classification using statistical moments. Communications, IEEE Transactions on, 1992. 40(5): p. 908-916.

Wong, M. and Nandi., A., Automatic digital modulation recognition using spectral and statistical features with multi-layer perceptrons. in Signal Processing and its Applications, Sixth International, Symposium on. 2001. IEEE.

Wong, M. and Nandi., A., Automatic digital modulation recognition using artificial neural network and genetic algorithm. Signal Processing, 2004. 84(2): p. 351-365.

Wu, H.C., M. Saquib, and Z. Yun, Novel automatic modulation classification using cumulant features for communications via multipath channels. Wireless Communications, IEEE Transactions on, 2008. 7(8): p. 3098-3105.

Zhu, Z., M.W. Aslam, and A.K .Nandi. Augmented genetic programming for automatic digital modulation classification. in Machine Learning for Signal Processing, IEEE International Workshop on. 2010.



**کویه حسامپور مدرک کارشناسی خود را در رشته مهندسی نرم افزار کامپیوتر از دانشگاه شهید باهنر کرمان و مدرک کارشناسی ارشد خود را سال ۱۳۹۱ در رشته مهندسی کامپیوتر، گرایش هوش مانیون و رباتیک از دانشگاه یزد دریافت کردند. زمینه های پژوهشی ایشان پردازش سیگنال، سیستم های هوشمند و محاسبات نرم است. نشانی رایانماء ایشان عبارت است از:**

k.hessampour@stu.yazd.ac.ir



**محمد قاسمزاده مدرک کارشناسی خود را در رشته مهندسی کامپیوتر از دانشگاه شیراز و مدرک کارشناسی ارشد را در رشته مهندسی کامپیوتر، گرایش هوش مانیون و رباتیک از دانشگاه صنعتی امیرکبیر دریافت کردند. ایشان زمستان ۱۳۸۴ دوره دکترای خود در رشته علوم کامپیوتر، الگوریتم و محاسبه پذیری را در دانشگاه پتسدام آلمان به اتمام رساندند. زمینه های پژوهشی ایشان شامل محاسبه پذیری، سیستم های هوشمند و محاسبات نرم است. نشانی رایانماء ایشان عبارت است از:**

m.ghasemzadeh@yazd.ac.ir

(جدول-۶): مقایسه کارایی روش استخراج ویژگی ها توسط روش جدید در سیگنال به نویه های مختلف

SNR(db)		میانگین دقت جداسازی مدولاسیون ها
۱۰	۵	
۹۷/۱۶	۸۳/۸۳	دقت بدست آمده با ویژگی های اصلی مقاله
۹۸/۵	۹۴/۸۳	دقت جداسازی با ویژگی های ایجاد شده توسط GP

## سپاسگزاری

این پژوهش با حمایت «وزارت ارتباطات و فناوری اطلاعات- مؤسسه تحقیقات ارتباطات و فناوری اطلاعات» انجام شده است.

## مراجع

Carlson., A.B., Crilly., P.B., and Rutledge., J.C., Comm-unication system fourth ed. 2001: McGraw Hill.

Dobre, O.A., et al., Survey of automatic modulation classification techniques: classical approaches and new trends. Communications, IET, 2007. 1(2)p. 137-156.

Hsue, S.Z. and S.S. Soliman. Automatic modulation classification using zero crossing. in Radar and signal processing, IEE Proceedings F. 1990

Lopatka, J. and M. Pedzisz. Automatic modulation classification using statistical moments and a fuzzy classifier. in Signal Processing Proceedings, 5th International Conference on. 2000. IEEE.

Mobasseri, B.G., Digital modulation classification using constellation shape. Signal processing, 2000. 80(2): p. 251-277.

Nandi, A.K. and E.E. Azzouz, Algorithms for automatic modulation recognition of communication signals .Communications, IEEE Transactions on, 1998. 46(4): p. 431-436.

Neshatian, K. and M .Zhang. Genetic programming for performance improvement and dimensionality reduction of classification problems. in Evolutionary Computation, 2008. IEEE World Congress on Computational Intelligence. IEEE Congress on. 2008.

Shrme ,A.E. Hybrid intelligent technique for automatic communication signals recognition using Bees Algorithm and MLP neural networks based on the efficient features, Expert Systems with Applications, 2011. 38(5): p. 6000-6006

Silva, S., GPLAB-a genetic programming toolbox for MATLAB, version 3.0. University of Coimbra, 2007

